

с 37

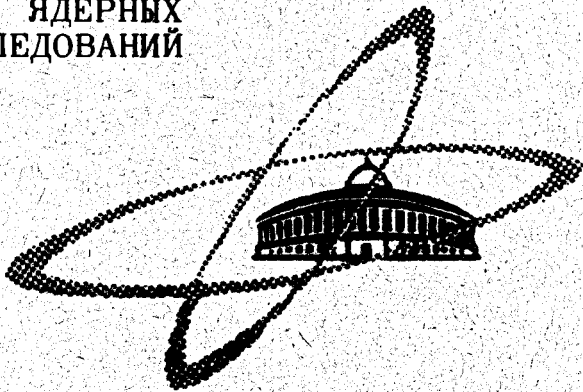
ФР-833

10/X-69

СООБЩЕНИЯ  
ОБЪЕДИНЕННОГО  
ИНСТИТУТА  
ЯДЕРНЫХ  
ИССЛЕДОВАНИЙ

Дубна

P4 - 4647



И.М. Франк

ОСОБЕННОСТИ КОРОТКОВОЛНОВОЙ ЧАСТИ  
ДОПЛЕРОВСКОГО СПЕКТРА В СРЕДЕ

ЛАБОРАТОРИЯ НЕЙТРОННОЙ ФИЗИКИ

1969

**Р4 - 4647**

**И.М.Франк**

**ОСОБЕННОСТИ КОРОТКОВОЛНОВОЙ ЧАСТИ  
ДОПЛЕРОВСКОГО СПЕКТРА В СРЕДЕ**

8068/2 чр

Объединенный институт  
энергетических исследований  
Библиотека

Франк И.М.

P4-4647

**Особенности коротковолновой части доплеровского спектра  
в среде**

Рассматривается эффект Доплера в преломляющей среде. Основное внимание обращено на особенности доплеровского спектра в области частот, превышающих плазменную частоту среды.

**Сообщения Объединенного института ядерных исследований  
Дубна, 1969**

Frank I.M.

P4-4647

**Peculiarities of the Short-Wave Part of the Doppler  
Spectrum in a Medium**

The Doppler effect in a refractive medium is considered. Attention is focussed on the peculiar features of the Doppler spectrum in the region of frequencies exceeding the plasma frequency of the medium.

**Communications of the Joint Institute for Nuclear Research.  
Dubna, 1969**

Как известно, эффект Доплера в преломляющей среде обладает рядом особенностей. Одной из них является возможность движения излучателя со скоростью, превышающей фазовую скорость света и возникновение при этом так называемого аномального эффекта Доплера, частоты которого удовлетворяют условию

$$\omega = \frac{\omega_0}{\beta n(\omega) \cos \theta - 1}; \quad \beta n(\omega) \cos \theta > 1. \quad (1)$$

При этом  $\omega_0 = \omega'_0 \sqrt{1 - \beta^2}$ , где  $\omega'_0$  — собственная частота излучателя при  $\beta = 0$ . Наряду с аномальным эффектом Доплера имеет место и нормальный эффект Доплера, для которого

$$\omega = \frac{\omega_0}{1 - \beta n(\omega) \cos \theta}, \quad \beta n(\omega) \cos \theta < 1. \quad (2)$$

Иногда при упрощенном рассмотрении пренебрегают дисперсией, полагая  $n(\omega) = n_1$ . Это приводит не только к правильному выводу, что аномальный эффект Доплера возможен лишь для острых углов ( $\beta n_1 \cos \theta > 1$ ), но и к ошибочному утверждению, что нормальный эффект Доплера осуществляется только для достаточно больших углов  $\theta$  (при  $\beta n_1 \cos \theta < 1$  для заданного  $n_1$ ). В этом случае граница между ними определялась бы соотношением

$$\beta n_1 \cos \theta_0 = 1,$$

т.е. условием излучения Вавилова-Черенкова для показателя преломления  $n_1$ . В действительности, однако, пренебрежение дисперсией недопустимо и, как было показано еще в первоначальном рассмотрении /1/, нормальный эффект Доплера возможен для любых углов  $\theta$  от 0 до  $\pi$ . В преломляющей среде при малых углах  $\theta$  нормальная доплеровская частота смещается в область аномальной дисперсии, где показатель преломления незначительно превышает единицу или даже меньше ее, так что  $\beta n(\omega) \cos \theta < 1$ . Сложная зависимость  $n$  от  $\omega$  в реальной среде приводит и к тому, что уравнение Доплера при заданных  $\omega_0$ ,  $\theta$  и  $\beta$  может иметь несколько решений. Таким образом, в данном направлении может излучиться свет, содержащий не одну, а большее число доплеровских частот. Такой сложный эффект Доплера обязательно имеет место при аномальном эффекте Доплера /1/, но он возможен и для нормальных доплеровских частот. Поэтому заслуживает внимания исследование поведения нормальных доплеровских частот, особенно в области коротких длин волн, для которой ранее не проводилось детального анализа.

Положим показатель преломления для высоких частот равным

$$n(\omega) = 1 - \frac{\omega_p^2}{2\omega^2}, \quad \omega > \omega_p, \quad (3)$$

где  $\omega_p$  - плазменная или ленгмюровская частота  $\omega_p = \left( \frac{4\pi N e^2}{m} \right)^{1/2}$ . Здесь  $N$  - число электронов в единице среды и  $m$  - масса электрона. При этом мы ограничимся областью частот, в которой эта формула заведомо имеет физический смысл, т.е. будем предполагать, что  $\omega > \omega_p$ . Тогда, подставляя  $n(\omega)$  из (3) в уравнение (2), для нормального эффекта Доплера имеем:

$$\omega = \frac{\omega_0}{1 - \beta \cos \theta + \frac{\omega_p^2}{2\omega^2} \cos \theta}; \quad \omega > \omega_p. \quad (4)$$

Уравнение (4) отличается от уравнения Доплера в вакууме наличием третьего члена в знаменателе. Это квадратное уравнение относительно  $\omega$  и, решая его, получаем

$$\omega = \frac{\omega_0}{2(1-\beta \cos \theta)} \left[ 1 \pm \sqrt{1 - \frac{2\omega_p^2 \beta \cos \theta (1-\beta \cos \theta)}{\omega_0^2}} \right]; \quad \omega > \omega_p. \quad (5)$$

Если обе частоты, соответствующие знаку плюс и минус перед корнем (5), больше  $\omega_p$ , то получаем сложный эффект Доплера. При этом уравнение (4), очевидно, может определять доплеровские частоты только при условии, что под корнем квадратным (5) стоит положительная величина или ноль. Следовательно, должно быть

$$\frac{\omega_0}{1-\beta \cos \theta} \geq \frac{2\omega_p^2}{\omega_0} \beta \cos \theta. \quad (6)$$

Левая часть неравенства (6), очевидно, равна доплеровской частоте в вакууме при тех же  $\beta$  и  $\theta$ , на величину которой в (6) накладывается, таким образом, определенное условие. Если неравенство становится равенством, то обе доплеровские частоты, соответствующие уравнению (5), совпадают и определяют пороговую частоту сложного эффекта Доплера в области применимости уравнения (4). Вопрос об этом пороге будет еще рассмотрен в последующем тексте.

Для более детального рассмотрения поведения доплеровских частот представим уравнение (2) в виде, в котором его удобно исследовать

$$f(\omega, v \cos \theta) = k(\omega) - \frac{\omega - \omega_0}{v \cos \theta} = 0; \quad k(\omega) = \frac{n(\omega) \omega}{c} \quad (7)$$

$$k(\omega) = \frac{1}{c} \left( \omega - \frac{\omega_p^2}{2\omega} \right) \quad \omega > \omega_p. \quad (8)$$

Уравнение (7) тождественно с (2), а при  $k(\omega)$ , равном (8), тождественно (4). Отметим, что уравнение (7) правильно и для аномального эффекта Доплера, если изменить в нем знак перед  $\omega_0$  на обратный, а также для излучения Вавилова-Черенкова ( $\omega_0 = 0$ ). На рис. 1 оба члена уравнения (7) представлены графически. Кривой представляется  $k(\omega)$ , причем в области  $\omega$ , много больших  $\omega_p$ ,  $k(\omega)$  подчиняется уравнению (8) и имеет асимптотическую зависимость  $k(\omega) = \frac{\omega}{c}$  (пунктирная

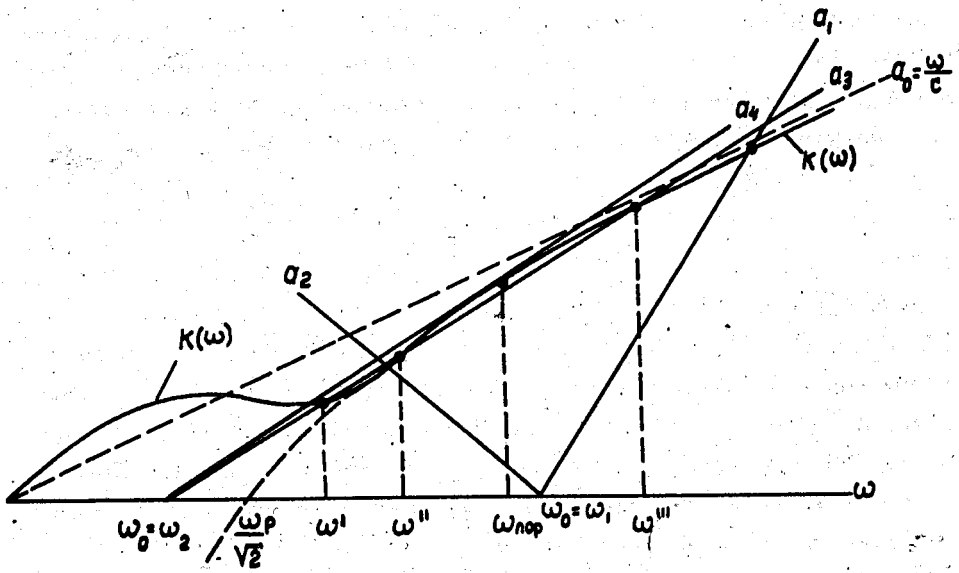


Рис.1

прямая  $a_0 = \frac{\omega}{c}$  (рис. 1)). В области оптических частот, очевидно,  $n(\omega) > 1$  и  $k(\omega)$  идет выше прямой  $a_0 = \frac{\omega}{c}$ . При этом в реальной среде при  $\omega \leq \frac{\omega_p}{\sqrt{2}}$  возможно, что  $k(\omega) > 0$  вопреки уравнению (8). Прямые  $a_1, a_2, a_3$  и  $a_4$  это  $\frac{\omega - \omega_0}{v \cos \theta}$  для разных  $\omega_0$  и  $v \cos \theta$ . Очевидно, что пересечения прямых  $a_1, \dots, a_4$  с кривой  $k(\omega)$  дают решения уравнения (7), т.е. величины  $\omega$ , удовлетворяющие (2), а в тех случаях, когда они лежат в области  $\omega > \omega_p$ , то (4) и (5) (такой графический метод нахождения доплеровских частот уже использовался в работах [1,2,3]). При анализе поведения доплеровских частот следует различать два случая в зависимости от величины отношения  $\frac{\omega_p}{\omega_0}$ .

Допустим, что  $\omega_0 = \omega_1 > \omega_p$ , т.е. собственная частота лежит в области применимости (3). Предположим, что  $\theta > \frac{\pi}{2}$ , т.е.  $\cos \theta < 0$ . На рис. 1 этому соответствует прямая  $a_2 = \frac{\omega_0 - \omega}{|v \cos \theta|}$ , всегда пересекающая кривую  $k(\omega)$ . Этот результат, конечно, не зависит от величины  $\omega_0$ , которая может быть как большой, так и малой и этим определяется только, в какой области спектра лежит доплеровская частота. Если  $\theta > \frac{\pi}{2}$ , то под корнем (5) стоит положительная величина. Поэтому всегда имеется решение (5), соответствующее знаку плюс перед корнем (решение со знаком минус не имеет физического смысла, так как  $\omega$  при этом отрицательна). При этом из (5) видно, что заведомо  $\omega > \omega_p$ , если

$$\omega_0 = \omega_1 > \omega_p (1 + \beta |\cos \theta|).$$

Величине  $\theta < \frac{\pi}{2}$ , т.е.  $\beta \cos \theta > 0$  и  $\omega_0 = \omega_1$  соответствует прямая  $a_1$ , которая также обязательно пересекает кривую  $k(\omega)$ , так как наклон прямой  $\frac{da_1}{d\omega} = \frac{1}{v \cos \theta}$  больше, чем  $\frac{1}{c}$ , к которому стремится  $\frac{dk(\omega)}{d\omega}$ . При этом доплеровская частота, как и следует ожидать, смещена в сторону коротких длин волн по сравнению с  $\omega_0 = \omega_1$ . Этот же результат сразу виден и из (5). В самом деле, максимальное значение  $\beta \cos \theta (1 - \beta \cos \theta)$  достигается при  $\beta \cos \theta = \frac{1}{2}$  и равно  $\frac{1}{4}$ . Таким образом, минимальное значение величины, стоящей под знаком корня (5), равно  $1 - \frac{\omega_p^2}{2\omega_0^2}$ . Оно всегда положительно, если  $\omega_0 > \omega_p$ , а



следовательно, у (5) имеется решение, определяющее для  $\omega$  действительную величину. Физический смысл имеет решение со знаком плюс перед корнем (5), т.е.  $\omega > \omega_0$ . Что касается решения со знаком минус перед корнем, то ему соответствует  $\omega < \frac{\omega_p}{\sqrt{2}}$ , для которого, согласно (8),  $k(\omega)$  отрицательно (второе пересечение  $a_1$  с  $k(\omega)$ ) (см. рис. 1) может лежать только ниже оси абсцисс, т.е. при  $k(\omega) < 0$ .

Допустим, что второй член под корнем квадратным в (5) мал по сравнению с единицей. При  $\frac{\omega_p}{\omega_0} < 1$  этому условию легко удовлетворить, если  $\frac{\omega_p}{\omega_0} \ll 1$  или  $\beta \cos \theta \ll 1$ . Тогда для знака плюс перед корнем в (5) получаем

$$\omega = \frac{\omega_0}{1 - \beta \cos \theta} - \frac{\omega_p^2}{2\omega_0} \beta \cos \theta. \quad (9)$$

Если  $\beta \cos \theta \ll 1$ , то доплеровский сдвиг, как и следовало ожидать, мал и отличается от доплеровского сдвига в вакууме наличием второго члена в (9). Случай  $(1 - \beta \cos \theta) \ll 1$ , при котором второй член под корнем (5) также может быть мал, требует специального рассмотрения, которое будет проведено ниже.

Таким образом, при  $\omega_0 = \omega_1 > \omega_p$  получаем, что для каждого  $\theta$  как правило, имеет место только одна частота, удовлетворяющая уравнению (2), и, таким образом, нормальный Допплер-эффект в этом случае не является сложным. Иное положение возможно, если  $\omega_0 < \omega_p$ , т.е. лежит в оптической области частот.

Допустим, что  $\omega_0 = \omega_2 < \omega_p$ . Нетрудно убедиться, что прямая  $a_3$ , соответствующая  $\omega_0 = \omega_2$  на рис. 1, всегда пересекает кривую  $k(\omega)$ , т.е. при любом  $n(\omega)$ ,  $\beta$  и  $\theta$  имеется нормальная доплеровская частота, удовлетворяющая (2). При малом наклоне прямой  $a_3$  ( $\frac{1}{v \cos \theta}$  достаточно близком к  $\frac{1}{c}$ ) доплеровская частота смещается в область аномальной дисперсии (частота  $\omega'$  на пересечении прямой  $a_3$  с кривой  $k(\omega)$  (рис.1)), причем эффект Допплера может стать сложным и в дополнение к  $\omega'$  могут появиться частоты  $\omega''$  и  $\omega'''$ , лежащие в области  $\omega > \omega_p$  (см. рис. 1). Для появления таких частот должно быть выполнено неравенство (6), а условием порога, очевидно,

является случай, когда при уменьшении  $(1 - \beta \cos \theta)$  уравнение (6) становится равенством (графически это означает касание прямой  $a$ , кривой  $k(\omega)$  в точке  $\omega_{\text{пор}}$  (см. рис. 1)).

Допустим сначала, что  $\omega_0$  не зависит или слабо зависит от энергии частицы при релятивистских скоростях. Это невозможно, если  $\omega_0$  - собственная частота системы, т.к.  $\omega_0 = \omega'_0 \sqrt{1 - \beta^2} = \omega'_0 \frac{mc^2}{E}$ .

(Здесь  $E = \frac{mc^2}{\sqrt{1 - \beta^2}}$  - полная энергия излучателя). Однако  $\omega_0$  может быть частотой вынужденных колебаний заряженной частицы, движущейся в среде, возникающих под действием электромагнитной волны. При рассеянии света  $\omega_0 = \Omega_0$ , где /4/

$$\Omega_0 = \omega'_0 |\beta n_0 \cos \theta_0 - 1|, \quad (10)$$

при этом  $\omega'_0$  - частота исходного света,  $n_0$  - показатель преломления для нее, а  $\theta_0$  - угол между  $k_0$  и скоростью частицы. При замене  $\omega_0$  на  $\Omega_0$  формулы (2) и (1) (т.е. уравнения Допплера) дают частоты  $\omega$  света, рассеянного под углом  $\theta$  к скорости частицы.

Если  $\beta$  близко к единице, а  $\beta n_0 \cos \theta_0$  заметно отличается от единицы, то, как видно из (10),  $\Omega_0$  практически не зависит от энергии частицы.

Тогда в неравенстве (6) (при  $\omega_0 = \Omega_0$ ) левая часть возрастает при уменьшении  $(1 - \beta \cos \theta)$ , а правая стремится к пределу  $\frac{2\omega_p^2}{\Omega_0}$ , соответствующему  $\beta \cos \theta = 1$ . Очевидно, что для  $\frac{\omega_p}{\Omega_0} > 1$  найдется такое достаточно малое  $(1 - \beta \cos \theta)_{\text{пор}}$ , при котором (6) станет равенством (условие появления в рассеянном свете пороговой частоты  $\omega_{\text{пор}}$ ), а при дальнейшем уменьшении  $(1 - \beta \cos \theta)$  неравенство (6) будет выполнено (т.е. в рассеянном свете появятся частоты  $\omega''$  и  $\omega'''$ ).

Приравнивая левую часть уравнения (6) правой и решая квадратное уравнение, находим

$$(1 - \beta \cos \theta)_{\text{пор}} = \frac{1}{2} - \frac{1}{2} \sqrt{1 - \frac{2\Omega_0^2}{\omega_p^2}}. \quad (11)$$

Выбор знака перед корнем определяется тем, что нас интересует только малое  $(1 - \beta \cos \theta)$ .

Для  $\frac{\Omega_0}{\omega_p} \ll 1$  величина (11) приближенно равна

$$(1 - \beta \cos \theta)_{\text{пор.}} = \frac{\Omega_0^2}{2\omega_p^2}. \quad (12)$$

Принимая во внимание (11) или (12), из уравнения (5) находим:

$$\omega_{\text{пор}} = \frac{\Omega_0}{2(1 - \beta \cos \theta)} = \frac{\Omega_0}{1 - \sqrt{1 - \frac{2\Omega_0^2}{\omega_p^2}}} \approx \frac{\omega_p^2}{\Omega_0}. \quad (13)$$

Если  $(1 - \beta \cos \theta)$  меньше  $(1 - \beta \cos \theta)_{\text{пор.}}$ , то уравнение (5), как уже отмечалось, имеет два решения (частоты  $\omega''$  и  $\omega'''$ ). При этом величина  $(1 - \beta \cos \theta)_{\text{пор.}}$  может быть настолько мала, что второй член под корнем (5) станет много меньше единицы, т.е.

$$\frac{\Omega_0}{1 - \beta \cos \theta} \gg \frac{2\omega_p^2}{\Omega_0}. \quad (14)$$

Тогда из уравнения (5) находим

$$\omega''' = \frac{\Omega_0}{1 - \beta \cos \theta} - \frac{\omega_p^2}{2\Omega_0} \quad (15)$$

$$\omega'' = \frac{\omega_p^2}{2\Omega_0}. \quad (16)$$

Рассматривая уравнения (15) и (16), мы видим, что если частота  $\omega''$  имеет предельное значение, в два раза меньшее пороговой (см. 12), то  $\omega'''$  ведет себя как доплеровская частота в вакууме (при фиксированном  $\Omega_0$ ), отличаясь от нее поправкой, относительная величина которой мала (см. 14).

Максимальная величина частоты рассеянного света  $\omega'''$  достигается, очевидно, при  $\theta = 0$ . Для  $\theta = 0$  подставляя величину  $\Omega_0$  из (10) и принимая во внимание, что  $\frac{1}{1 - \beta} \approx \frac{2}{1 - \beta^2} = \frac{2E^2}{(mc^2)^2}$ ,

если  $\frac{E}{mc^2} \gg 1$ , получаем

$$\omega''' = 2\omega'_0 |\beta n_0 \cos \theta_0 - 1| \left( \frac{E}{mc^2} \right)^2 - \frac{\omega_p^2}{2\omega'_0 |\beta n_0 \cos \theta_0 - 1|} \quad (17)$$

$$\omega'' = \frac{\omega_p^2}{2\omega'_0 |\beta n_0 \cos \theta_0 - 1|} \quad (18)$$

Частота  $\omega$  отличается от частоты света, рассеянного частицей в вакууме при том же  $\beta$  и  $\theta$  тем, что содержит множитель  $|\beta n_0 \cos \theta_0 - 1|$  вместо  $(1 - \beta \cos \theta_0)$  и наличием малого поправочного члена. Так как основной член, определяющий  $\omega'''$ , растет с энергией как  $E^2$ , то относительная роль поправки уменьшается. Напомним, что в среде спектр рассеянного света распадается на два - нормальный и аномальный <sup>14</sup>. При этом в каждом из них при данном  $\theta$  могут появляться сразу несколько частот, т.е. спектр рассеяния может быть сложным. В рассматриваемом случае это  $\omega''$  и  $\omega'''$ , кроме которых имеется и  $\omega'$ .

Вернемся теперь к случаю, когда  $\omega_0$  - собственная частота системы, т.е.  $\omega_0 = \omega'_0 \sqrt{1 - \beta^2}$ . Если заменить в (5)  $\omega_0$  на  $\omega'_0 \sqrt{1 - \beta^2}$ , то (5) переписется так:

$$\omega = \frac{\omega'_0 \sqrt{1 - \beta^2}}{2(1 - \beta \cos \theta)} \left[ 1 \pm \sqrt{1 - \frac{2\omega_p^2 \beta \cos \theta (1 - \beta \cos \theta)}{\omega_0'^2 (1 - \beta^2)}} \right]; \quad \omega > \omega_p \quad (19)$$

Рассмотрим величину второго члена под корнем уравнения (19). Для релятивистской частицы и  $\theta = 0$  он, очевидно, равен

$$\frac{2\omega_p^2 \beta (1 - \beta)}{\omega_0'^2 (1 - \beta^2)} = \frac{2\omega_p^2}{\omega_0'^2} \frac{\beta}{1 + \beta} \approx \frac{\omega_p^2}{\omega_0'^2} \quad (20)$$

Таким образом, эта величина может быть меньше единицы, а, следовательно, (19) может иметь действительные решения только при условии  $\omega_0' > \omega_p$ . При  $\theta \neq 0$  требования становятся еще более жесткими, т.к.  $\beta \cos \theta (1 - \beta \cos \theta)$  возрастает при увеличении  $\theta$  до тех пор, пока  $\beta \cos \theta > \frac{1}{2}$ .

Мы приходим, следовательно, к выводу, что если  $\omega_0 < \omega_p$  и при этом  $\omega'_0 < \omega_p$ , то невозможно появление доплеровских частот, лежащих в области, превышающей  $\omega_p$ . В самом деле, для трансформации  $\omega'_0 < \omega_p$  в  $\omega > \omega_p$  необходим значительный доплеровский сдвиг, т.е. излучатель задумано должен иметь релятивистскую скорость, и  $(1 - \beta \cos \theta)$  должно быть малым. Однако в этом случае при  $\frac{\omega_p}{\omega_0} > 1$  подкоренное выражение (19) отрицательно. На рис.1 это означает следующее: прямая  $a$ , проходящая через  $\omega = \omega_2$ , имеет наклон по отношению к горизонтальной оси больший, чем  $a_4$ . При увеличении энергии частицы минимальный наклон прямой  $a$  становится меньше, но  $\omega = \omega_2$  убывает, и нижняя часть прямой  $a$  смещается влево. В результате она пересекает кривую  $k(\omega)$  только в области аномальной дисперсии (вблизи  $\omega'$  рис. 1) и не может коснуться кривой  $k(\omega)$  в области  $\omega > \omega_p$ . Таким образом, как бы ни велика была кинетическая энергия излучателя, но если  $\omega'_0 < \omega_p$ , то наличием среды нельзя пренебрегать и доплеровская частота не может выйти за пределы  $\omega > \omega_p$ , где применимо (3)  $x/$ .

Однако, если  $\omega'_0 > \omega_p$ , но за счет релятивистского сдвига  $\omega_0 = \omega'_0 \sqrt{1 - \beta^2} < \omega_p$ , то уравнение (5) может иметь два решения, дающие действительные величины  $\omega''$  и  $\omega'''$ . Для релятивистских скоростей можно положить  $\frac{\beta}{1 + \beta} = \frac{1}{2}$  и  $\beta = 1$ , а для малых углов можно заменить  $\cos \theta$  на  $1 - \frac{\theta^2}{2}$ , тогда из (19) получаем

$$\omega = \frac{\omega'_0 \sqrt{1 - \beta^2}}{(1 - \beta + \frac{\theta^2}{2})} \left[ \frac{1}{2} \left( 1 \pm \sqrt{1 - \frac{\omega_p^2}{\omega_0'^2} \left( 1 + \frac{\theta^2}{1 - \beta^2} \right)} \right) \right] \quad \omega > \omega_p. \quad (21)$$

Отсюда видно, что область углов, для которой под корнем (21) стоит положительная величина, тем уже, чем больше энергия частицы. При этом доплеровская частота отличается от доплеровской частоты в вакууме (которая при  $\theta = 0$  возрастает пропорционально  $E$ ) множителем, зак-

$x/$  Возникает вопрос, что будет в разреженной среде, поскольку уменьшение ее плотности равносильно переходу к случаю вакуума. Здесь нет противоречия со сказанным, так как  $\omega_p^2$  возрастает обратно пропорционально плотности среды.

лученным в квадратные скобки. Если  $\theta = 0$ , то величина этого множителя при  $E \gg mc^2$  постоянна. При этом получаем две дополнительные к  $\omega'$  доплеровские частоты  $\omega''$  и  $\omega'''$ , возрастающие пропорционально  $E$ .

Последнее замечание, которое следует сделать, касается порога появления частот  $\omega''$  и  $\omega'''$  (см. рис. 1). Как и должно быть, этот порог связан с величиной групповой скорости  $W(\omega)$  [2,3]. Порогу, как уже отмечалось, соответствует касание прямой  $a_4$  кривой  $k(\omega)$  (рис. 1). Отсюда

$$\frac{1}{[v \cos \theta]} = \left[ \frac{dk(\omega)}{d\omega} \right]_{\omega=\omega_{\text{пор}}} = \frac{1}{W(\omega_{\text{пор}})}. \quad (22)$$

К тому же результату легко придти и с помощью уравнения (7). В самом деле, это уравнение  $f(\omega, v \cos \theta) = 0$  определяет непрерывную зависимость  $v \cos \theta$  от  $\omega$ . Пороговая величина  $[v \cos \theta]_{\text{пор}}$  является наибольшим или наименьшим значением  $v \cos \theta$ , соответствующим  $\omega_{\text{пор}}$ , т.е. имеется экстремум при  $\omega = \omega_{\text{пор}}$ . Отсюда при  $\omega = \omega_{\text{пор}}$

$$\frac{d(v \cos \theta)}{d\omega} = - \frac{\partial f}{\partial \omega} / \frac{\partial f}{\partial (v \cos \theta)} = 0. \quad (23)$$

Из (7) в общем случае имеем

$$\frac{d(v \cos \theta)}{d\omega} = - \frac{(v \cos \theta)^2}{\omega - \omega_0} \left[ \frac{dk}{d\omega} - \frac{1}{v \cos \theta} \right]. \quad (24)$$

Обращение этой производной в нуль, очевидно, эквивалентно (22). Для конкретного вида  $k(\omega)$  (8) получаем

$$\frac{d(v \cos \theta)}{d\omega} = - \frac{(v \cos \theta)^2}{\omega - \omega_0} \left[ \frac{1}{c} \left( 1 + \frac{\omega_p^2}{2\omega^2} \right) - \frac{1}{v \cos \theta} \right]. \quad (25)$$

В самом деле, в точке порога (25) обращается в нуль; в чем легко убедиться, подставив сюда  $[\beta \cos \theta]_{\text{пор}}$  из (11) и  $\omega_{\text{пор}}$  из (13).

## Л и т е р а т у р а

1. И.М. Франк. Известия АН СССР (сер. физ.), том VI , В (1942).
2. И.М. Франк. Нобелевская лекция, например, УФН 68, 397 (1959).
3. И.М. Франк. ЖЭТФ 36, 823 (1959).
4. И.М. Франк. Ядерная физика, 7, 1100 (1968).

Рукопись поступила в издательский отдел  
7 августа 1969 года.